

## 第十六讲

上次课:

- 磁偶极子与外磁场的“有效相互作用能”

$$\tilde{U}_{\text{int}} = -\vec{m} \cdot \vec{B}_e \quad \text{--- 等电流条件下 (此时 } \vec{m} \text{ 的定义才有意义!);}$$

开放体系需要把“源”计入

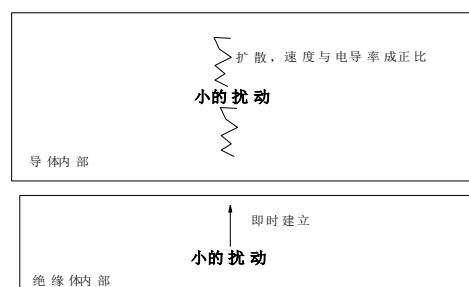
- 似稳条件:

$$\omega \ll \omega_\sigma = \frac{\sigma_c}{\varepsilon}, \quad R \ll \frac{\lambda}{2\pi} \rightarrow \text{忽略位移电流} \rightarrow \text{没有辐射}$$

- 似稳条件下金属中的电磁场方程

$$\frac{\partial}{\partial t} \begin{pmatrix} \vec{H} \\ \vec{E} \end{pmatrix} = \frac{1}{\mu\sigma_c} \nabla^2 \begin{pmatrix} \vec{H} \\ \vec{E} \end{pmatrix}$$

这显示似稳条件下  $\vec{E}$  和  $\vec{H}$  的方程是我们熟知的**扩散方程**,  $D = 1/\mu\sigma_c$  是扩散系数。这说明导电介质中的电磁场会扩散, 扩散的快慢取决于电导率  $\sigma_c$  的大小,  $\sigma_c$  越大则扩散越慢。对于理想导体, 扩散系数为零, 而在绝缘体中, 场的扩散系数为无限大。比如, 在某一时刻在原点进行一下电磁扰动(如将一个电荷搬到此处), 在绝缘体中, 电磁场瞬间被建立起来(或者说从原点瞬间扩散出去); 在导体中, 这个电场却非常慢才能建立起来(扩散出去), 在理想导体中, 电场永远也不能被建立起来。



**Tip --- 电导率越大扩散越小似乎与我们的直觉相违背: 因为电导率大则电子对电场的响应大, 似乎更容易来传播电磁信号才对? 其实恰恰相反。可以通过如下一个简单的 Argument 来理解这件事情。在导体中做一个小的扰动, 因为导体中有自由电荷, 这些自由电荷会重新分布从而屏蔽这种扰动建立的电场, 导体的导电性能愈好, 这种阻碍效果就愈强。这就是为什么导体的电导率越大, 场扩散的速度就越慢。绝缘体中没有任何自由电荷, 因此电**

场在其中建立时没有阻碍 – 扩散速度无限大。当然，这一切都是在似稳场近似下成立。大尺度下不舍弃位移电流项，你会发现这种信号的传播是以电磁波的形式传播的，速度是介质中的光速。

### § 6.3 导体表面层内的场分布 趋肤效应

建立了似稳场基本方程以后，我们进一步来研究它们所描写的电磁场在导体内的分布特征。在准静近似下，导体内部的电场与电流满足  $\vec{j}(\vec{r}, t) = \sigma_c \vec{E}(\vec{r}, t)$ ，因此，研究导体内部的电场等价于研究导体内部的电流分布。在直流情形（电磁场均不随时间变化），电流可以在整个导线中（近似）均匀流动，与之相关的是电场可以分布在导体内部（注意与静电场的区别）。然而这个图像在交流（电磁场随时间变化）情形下发生了巨大的变化，无论是  $\vec{j}$  还是驱动电场  $\vec{E}$  甚至是与之相关的磁场  $\vec{B}$ ，都不能在任意分布在导体的体内，而只能分布在导体表面的一个薄层，这就是趋肤效应。我们来讨论一个最简单的情况：

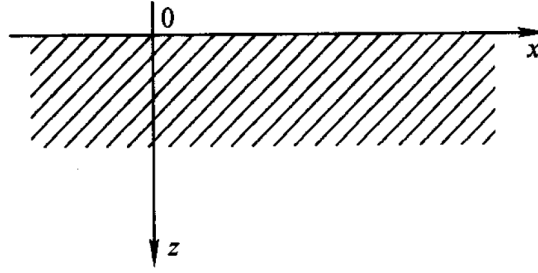


图 6.2

设导体占据  $z > 0$  的空间，如图 6.2。考虑电流沿着  $x$  方向流动，则  $\vec{E}$  只有一个  $E_x$  项非 0，且只是  $z$  的函数。于是，扩散方程(6.2.4)现在变成

$$\left( \frac{\partial^2}{\partial z^2} - \mu \sigma_c \frac{\partial}{\partial t} \right) E_x(z, t) = 0 \quad (6.3.1)$$

假设驱动电源的频率为  $\omega$ ，则电磁场均作简谐变化。(6.3.1) 是线性齐次方程，求解这种方程的常用方法是假设如下复指数形式

$$\vec{E} = \hat{x} A \exp[pz - i\omega t], \quad (6.3.2)$$

求解之后再取实部即可（**因为物理的场必须是实数；能这样做的原因是 (6.3.1) 是线性齐次方程**）。将其作为试解代入(6.3.2)式即有

$$p^2 = -i\omega\mu\sigma_c$$

解之可得，

$$p = \pm \sqrt{\frac{1}{2} \omega \mu \sigma_c (1-i)} = \pm \alpha (1-i),$$

式中  $\alpha = \left( \frac{1}{2} \mu \omega \sigma_c \right)^{1/2}$ 。所以，电场的通解为：

$$\vec{E} = \vec{e}_x \left( E_0 e^{-\alpha(1-i)z} + E'_0 e^{\alpha(1-i)z} \right) e^{-i\omega t}$$

考虑到  $z \rightarrow \infty$  时，电场应当收敛，故有  $E'_0 = 0$ 。因此，电场的解为

$$\vec{E} = \vec{e}_x E_0 e^{-\alpha z} e^{-i(\omega t - \alpha z)} \quad (6.3.3)$$

(6.3.3) 是数学意义上的解，物理的场应当取该复数解的实部，可得

$$\vec{E} = \vec{e}_x E_0 e^{-\alpha z} \cos(\omega t - \alpha z) \quad (6.3.3')$$

(此处设  $E_0$  为实数)。这个解显示电场随着  $z$  的增加一边振荡一边指数衰减，在

$z = \frac{1}{\alpha}$  深度处，场强减少到导体表面 ( $z = 0$ ) 处的  $1/e$ ，我们称这个深度为**趋肤深度**，

记为  $\delta$ ：

$$\delta = \frac{1}{\alpha} = \sqrt{\frac{2}{\mu \omega \sigma_c}} \quad (6.3.4)$$

(6.3.4)式表明，**电磁波频率  $\omega$  越高或材料的电导率  $\sigma_c$  越大**，则场所集中的导体的表向层越薄，这个效应叫做**趋肤现象 (Skin effect)**。理想导体时  $\sigma_c \rightarrow \infty, \delta \rightarrow 0$ ，场和电流完全只存在于导体的表面。

接下来讨论圆柱形导线中的电流分布，这是一个非常具有实用价值的问题。设导线内的电场与导线轴平行，其场满足扩散方程

$$\nabla^2 \vec{E} - \sigma_c \mu \frac{\partial \vec{E}}{\partial t} = 0 \quad (6.3.5)$$

由对称性分析，电流和场都是柱对称的，因此取柱坐标系  $(\rho, \phi, z)$ 。 $\vec{E}$  只有  $z$  向分量，且只依赖于指标  $\rho$ 。令  $\vec{E} = \vec{e}_z E(\rho) e^{-i\omega t}$  (**注意：这又只是个复数的尝试解，**

**最后的物理解应取其实部；能这样做解析延拓的物理根源是 (6.3.5) 是个线性齐次方程**)

代入方程(6.3.5)可得

$$\frac{d^2}{d\rho^2} E(\rho) + \frac{1}{\rho} \frac{d}{d\rho} E(\rho) + k^2 E(\rho) = 0$$

式中  $k = \sqrt{i\omega\mu\sigma_c} = \sqrt{\omega\mu\sigma_c/2}(1+i) = \frac{1}{\delta}(1+i)$ 。这是一个标准的零阶贝塞尔方程。

由于  $\rho \rightarrow 0$  时  $E(\rho)$  必须有限，故方程的解为

$$E(\rho) = E_0 J_0(k\rho)$$

这里我们只能取在  $\rho \rightarrow 0$  极限下收敛的通解  $J_0(k\rho)$ ，而不取另一个通解形式。

因此，导线中的电流分布为

$$\vec{j} = \vec{e}_z \sigma_c E_0 J_0(k\rho) e^{-i\omega t}$$

常数  $E_0$  可由  $I_0 = \int \vec{j} \cdot d\vec{S}$  定出， $I_0$  是总电流。

对以上情况讨论如下：

(1) 若  $R \ll \delta$ ，即导线的半径远远小于趋肤深度，则  $|kR| \rightarrow 0$ 。因此对任意的  $\rho$ ，总有  $|k\rho| < |kR| \rightarrow 0$ ，则有  $J_0(k\rho) \rightarrow 1$ 。故，我们发现

$$\vec{j} \propto \vec{e}_z \text{const.}$$

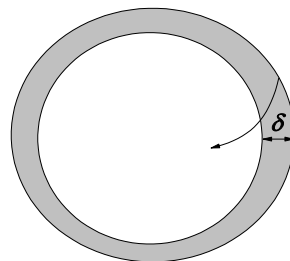
这表示电流是均匀分布的。根据 (6.3.4)， $\delta \gg R$  意味着频率很低，或者导电率很差，而同时导线很细。此时趋肤效应很微弱 --- 没有明显的电流趋向导体表面分布的趋势，而电流大致仍弥散在整个导线截面。

(2) 若  $\delta \ll R$ ，则在  $\rho \neq 0$  时总有  $k\rho \gg 1$ ，此时贝塞尔函数的渐近式为

$$J_0(k\rho) \rightarrow \frac{e^{k\rho}}{\sqrt{k\rho}} \cdot \text{const.},$$

因此，取合适的常数，我们可以将电流改写成

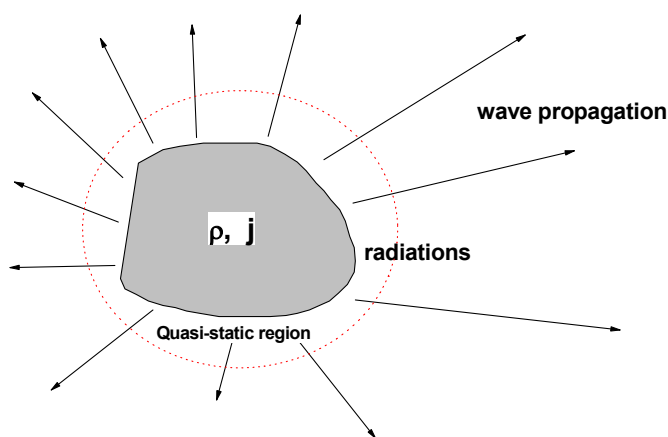
$$\vec{j} = \hat{z} j_0 \frac{e^{-\left(\frac{R-\rho}{\delta}\right)}}{\sqrt{\rho}} \cos(\omega t - \frac{\rho}{\delta})$$



上式表明随着  $(R-\rho)$  的增大(即从表面到柱轴线)，电流分布以指数形式衰减，并且  $\omega$  越大(即  $\delta$  越小)指数衰减越快，趋肤现象越强；电导率  $\sigma_c$  越大，趋肤现象也越严重。理想导体情况下  $\sigma_c \rightarrow \infty, \delta \rightarrow 0$ ，趋肤深度为 0，电流只以面电流形式出现。

## 第八章 电磁波的传播

上一讲我们指出，当“准静条件”满足时，可以将“位移电流”项弃掉，亦即将“辐射”项弃除，此时电磁能量完全被**束缚**在电荷、电流的附近。然而一般情况下位移电流项不能忽略。当“位移电流”加上之后，电场、磁场就不再束缚在电荷、电流的附近，在没有电荷、电流的**自由空间**也可以因为电磁场之间的相互转化而存在 —— 这种场存在的形式就是“**电磁波**”，Maxwell 方程**最伟大的预言！**从这一章开始，我们将进入电磁波这一神奇的世界。虽然电磁波原则上是由电荷、电流“辐射”出来的，但我们将“电磁辐射”这部分内容推迟到第十二章讨论。在本章及下一章中，我们将假设电磁场已经从“辐射源”中辐射出来了，在这个基础上我们先研究在电磁波在不同介质中是如何传播的。这些电磁媒介包括**电介质**、**金属**中以及下一章介绍的**波导**等。



## § 8.1 电磁波在非导电介质中的传播

考虑最简单的情形 —— 在无限大的**无源非导电**的介质中的电磁波的传播行为。此时麦克斯韦方程组为

$$\left\{ \begin{array}{l} \nabla \cdot \vec{D} = 0 \\ \nabla \times \vec{E} = -\frac{\partial}{\partial t} \vec{B} \\ \nabla \cdot \vec{B} = 0 \\ \nabla \times \vec{H} = \frac{\partial}{\partial t} \vec{D} \end{array} \right. \quad (8.1.1)$$

其中  $\vec{D} = \varepsilon \vec{E}$ ;  $\vec{B} = \mu \vec{H}$ 。假定介质均匀且暂时不考虑色散特性（色散介质指的是  $\varepsilon, \mu$  随频率变化的材料，我们随后讲述），则  $\varepsilon, \mu$  均为常数。（8.1.1）是电磁场耦合在一起的方程，不好求解，下面我们试图得到关于电场的方程。将第二条方程两边作用  $\nabla \times$ ，则有

$$-\nabla^2 \vec{E} + \nabla(\nabla \cdot \vec{E}) = \nabla \times (\nabla \times \vec{E}) = -\frac{\partial}{\partial t} \nabla \times \vec{B} = -\mu \frac{\partial}{\partial t} \left( \varepsilon \frac{\partial}{\partial t} \vec{E} \right) \quad (8.1.2)$$

根据第一条方程，有  $\nabla \cdot \vec{E} = 0$ ，则电场满足的方程为

$$\left( \nabla^2 - \varepsilon \mu \frac{\partial^2}{\partial t^2} \right) \vec{E} = 0 \quad (8.1.3)$$

基于同样的数学，我们发现磁场满足一样的方程

$$\left( \nabla^2 - \varepsilon \mu \frac{\partial^2}{\partial t^2} \right) \vec{B} = 0 \quad (8.1.4)$$

（8.1.3）和（8.1.4）式是标准的波动方程，取波速为

$$v^2 = \frac{1}{\varepsilon \mu} \quad (8.1.5)$$

后，其与大家在力学中学到的绳波所满足的方程

$$\left( \frac{\partial^2}{\partial x^2} - \frac{1}{v^2} \frac{\partial^2}{\partial t^2} \right) U(x) = 0 \quad (8.1.6)$$

类似。但仍有所不同：（1）此处场量是矢量，（2）传播方向不仅仅是向  $x$  方向。这给我们计算带来了一些麻烦，但设定传播方向后，每一个场的分量都满足与绳波一样的标量方程。考虑到（8.1.6）的解为  $U(x) = A \cos(kx - \omega t + \varphi)$ ，推广到电磁波的情形，则（8.1.3）-（8.1.4）的试解可以写为

$$\begin{cases} \vec{E}(\vec{r}, t) = \vec{E}_0 \cos(\vec{k} \cdot \vec{r} - \omega t + \varphi) \\ \vec{B}(\vec{r}, t) = \vec{B}_0 \cos(\vec{k} \cdot \vec{r} - \omega t + \varphi) \end{cases} \quad (8.1.7)$$

其中  $\vec{E}_0, \vec{B}_0, \vec{k}, \omega, \varphi$  均为常数（**逻辑上讲，（8.1.3-4）描述的  $E$  和  $B$  的波动方程式独立的，因此（8.1.7）解的形式中， $E$  和  $B$  中的相因子可以不同，亦即， $E$  表达式中的  $\vec{k}, \omega, \varphi$  与  $B$  表达式中的  $\vec{k}, \omega, \varphi$  不必相同。但后面依据原始 Maxwell 方程的分析表示：它们必须相等**）。

代入（8.1.3）及（8.1.4）后发现试解（8.1.7）满足方程，但  $k, \omega$  之间需满足关系式

$$\boxed{k^2 = \epsilon\mu\omega^2 \Rightarrow k = \pm\omega\sqrt{\epsilon\cdot\mu}} \quad (8.1.8)$$

(8.1.8) 式是电磁波传播的色散关系，对波的传播性质有重要意义。

**注：**

[1] 对任何波动方程，我们首先要问的是它的色散关系（注意不要和本构关系混淆！），亦即，频率 $\omega$ （时域振动性质）与波矢 $k$ （空间域的振动性质）之间的关系。这是波的大部分性质的基础，若色散关系相同，即使不同的波（如绳波和电磁波）也具有基本相似的性质。往大了说，色散关系描述的其实是能量（对应于 $\omega$ ）和动量（对应 $k$ ）之间的关系！

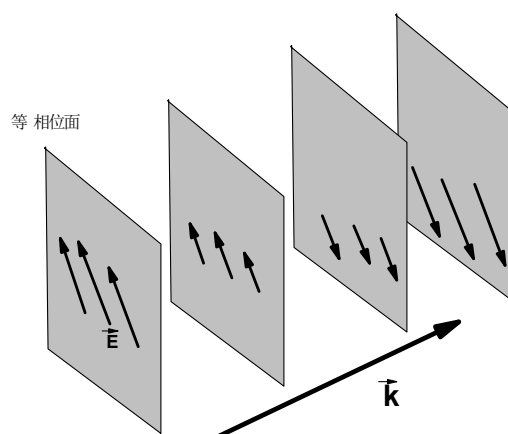
[2] (8.1.7) 式只是自由空间波动方程的一种试解，你能想出其它形式的试解吗？

我们对得到的电磁波的解讨论如下：

(1) (8.1.7) 式中的 $\vec{E}_0, \vec{B}_0$ 代表波动的振幅， $(\vec{k}\cdot\vec{r} - \omega t + \varphi)$ 称为振动的相位。在给定时刻，方程

$$\vec{k}\cdot\vec{r} = \text{常数}, \quad (8.1.9)$$

所定义的曲面上相位相等，波场 $\vec{E}, \vec{B}$ 也就相同，这个曲面叫作**等相位面**。显然满足(8.1.9)所定义的曲面为一平面，其垂直于 $\vec{k}$ ，故(8.1.7)所描述的波称为**平面波**。还可能将试解(8.1.7)写成其他形式，如球面波或者是柱面波，分别对应的等相位面为球面或者是柱面。



(2) 波长 $\lambda$  的定义为两个相位差为 $2\pi$  的等相位面之间的距离。考虑固定某个时刻( $t$  确定)对电磁波照张相，显然，显然垂直等相面的方向看电磁场的值随位置 $z$  作 $\sin$  或 $\cos$  波动，因此，相位差为 $2\pi$  的两个等相面上场量相等。显然 $\lambda$  由

方程

$$k \cdot \lambda = 2\pi$$

确定，即

$$k = \frac{2\pi}{\lambda} \quad (8.1.10)$$

$\vec{k}$  被称为波矢量。

(3) 频率/周期 相邻两次振动之间的时间为周期  $T$ ，单位时间内的振动次数为频率  $f$ 。在一个确定的位置处观察场量随时间  $t$  的变化，发现其也满足  $\sin$  或者  $\cos$  的波动振荡，此时周期  $T$  定义为两个波峰之间的时间差。容易求得：

$\omega T = 2\pi \Rightarrow T = 2\pi / \omega$ 。则振动频率为  $f = \frac{1}{T} = \frac{\omega}{2\pi}$ 。经常把  $\omega = 2\pi f$  称为 **角(圆)频率**，把  $f$  称为 **线频率**。

(4) 波速 等相位面的传播速度被称为波的**相速度**。设  $t$  时刻等相位面在  $r$  处， $t + \Delta t$  时刻该等相位面平移到  $r + \Delta r$  的位置，则有

$$k \cdot r - \omega t + \varphi = \text{常数} = k \cdot (r + \Delta r) - \omega(t + \Delta t) + \varphi,$$

故相速度为

$$v_p = \frac{\Delta r}{\Delta t} = \omega / k, \quad (8.1.11)$$

或

$$v_p = 1 / \left( \sqrt{\varepsilon \cdot \mu} \right), \quad (8.1.12)$$

(8.1.12) 式即是平面电磁波传播的速度，它与介质的性质有关，真空中有  $\varepsilon = \varepsilon_0, \mu = \mu_0$ ，故  $v_p = 1 / \sqrt{\varepsilon_0 \mu_0} = c$  为光速，介质中的波速  $v_p = 1 / \left( \sqrt{\varepsilon \cdot \mu} \right) = c / \left( \sqrt{\varepsilon_r \cdot \mu_r} \right) = c / n$ ，而  $n = \sqrt{\varepsilon_r \cdot \mu_r}$  被定义为材料的折射率。

**注：折射率的更基本的定义应当为  $n = \sqrt{\varepsilon_r \cdot \mu_r}$ ，因为它对  $\varepsilon, \mu$  分别大于、小于 0 四种情况均正确。关于  $\varepsilon, \mu$  均小于 0 的情况我们在后面还会分析。**



(5) 为了运算方便，常常把平面波写成复数形式，即

$$\begin{pmatrix} \vec{E}(\vec{r}, t) \\ \vec{B}(\vec{r}, t) \end{pmatrix} = \begin{pmatrix} \vec{E}_0 \\ \vec{B}_0 \end{pmatrix} e^{i(\vec{k} \cdot \vec{r} - \omega t + \varphi)} \quad (8.1.13)$$

(8.1.13) 式仍然是波动方程的**数学解**，**但因为场量必须为实数**，我们应当只取其实部作为**物理解**。然而写成复数形式对许多计算要简便很多，因此在实际运算时经常采用。但应当强调指出的是：**只有实场才是有物理意义的场，复场只是为了计算方便！而之所以可以用复场计算是因为方程 (8.1.3, 5) 是线性方程！**

有时把常数因子  $e^{i\varphi}$  并入振幅中，则

$$\begin{pmatrix} \vec{E}(\vec{r}, t) \\ \vec{B}(\vec{r}, t) \end{pmatrix} = \begin{pmatrix} \vec{E}_0 \\ \vec{B}_0 \end{pmatrix} e^{i(\vec{k} \cdot \vec{r} - \omega t)} \quad (8.1.14)$$

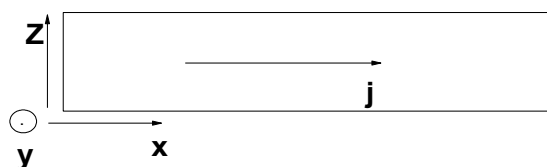
注意，这时振幅  $\begin{pmatrix} \vec{E}_0 \\ \vec{B}_0 \end{pmatrix}$  已是复数。反之，当电磁波的振幅是复数时，它表示电磁

波有相位因子。注意，这时振幅  $\begin{pmatrix} \vec{E}_0 \\ \vec{B}_0 \end{pmatrix}$  已是复数。反之，当电磁波的振幅是复数

时，它表示电磁波有相位因子。

### 习题

1. 铜在室温下的电阻率为  $1.69 \times 10^{-8} \Omega \cdot m$ ，分别在  $f = 1\text{MHz}$  和  $f = 1\text{GHz}$  条件下计算铜导线的趋肤深度。
2. 如图所示的厚度为  $d$  的平板型导体（电导率为  $\sigma_c$ ），假设沿  $x$  方向流有圆频率为  $\omega$  的交流电流（沿  $y$  方向均匀）。设导线边界上的电流密度为  $j_0$ ，在准静态近似下求解电流分布，电场分布，以及磁场分布。
3. 推导 (6.2.4) 及 (8.1.4)。



### 思考题：

1. 阅读所附的论文（PRB 74 035419 （2006）），在准静态极限下推导出 Eq. (1) & Eq. (2). 能否仔细分析论文中所利用的准静条件下的方程和基本假设？与我们此处有何不同？

2. 假设由几束激光干涉形成的驻波光场为  $\vec{E}(\vec{r}, t) = \vec{E}_0(\vec{r}) \cos(\omega t)$ , 其中  $\vec{E}_0(\vec{r})$  为实场。

建设在其中放置一个半径为  $a$  的介电常数为  $\varepsilon$  的介质小球, 讨论

- (1) 什么条件下问题满足“准静态近似”?
- (2) 在准静态近似下讨论介质小球的受力的表达式
- (3) 能否设计出一个真实的光场, 计算其对小球的“光力”?

3. 尝试在球坐标/柱坐标下解波动方程 (8.1.3)

4. 课件中的所有推导都是基于  $\varepsilon_r, \mu_r$  均大于 0 的情形。在其他三种情形下 (即:

$\varepsilon_r > 0, \mu_r < 0$ ;  $\varepsilon_r < 0, \mu_r > 0$ ;  $\varepsilon_r < 0, \mu_r < 0$ ), 课上建立的那些结论需要改写?